

УДК 538.214, 538.231

©1994

## БИКВАДРАТИЧНОЕ ОБМЕННОЕ ВЗАИМОДЕЙСТВИЕ В ПЛЕНКАХ ФЕРРОМАГНЕТИК — НЕМАГНИТНЫЙ МЕТАЛЛ

*К.Ю.Гуслиенко*

Для трехслойной пленки ферромагнетик–немагнитный металл–ферромагнетик в рамках микромагнитного подхода рассматриваются условия существования биквадратичного обменного взаимодействия между ферромагнитными слоями. Учтены размагничивающее поле, магнитная анизотропия и межслойное нелокальное обменное взаимодействие. Определены случаи, когда биквадратичное обменное взаимодействие при намагничивании пленки проявляет себя аналогично магнитной анизотропии. Вычислена соответствующая коэрцитивная сила.

1. Для магнитных диэлектриков с локализованными магнитными моментами и спином  $S > 1/2$  в гамильтониане обменного взаимодействия допустимо появление биквадратичных членов вида  $(S_1 S_2)^2$ . Исследование такого негайзенберговского обмена представляет собой отдельную задачу [1]. Однако, как было показано в работе [2] для магнитных пленок, взаимодействующих через прослойку в форме, билинейной по намагниченностям, пространственные флуктуации обменного интеграла приводят к появлению биквадратичного вклада в термодинамический потенциал. Происхождение их таково.

Обменное взаимодействие между ферромагнитными слоями через прослойку сильно зависит и осциллирует в зависимости от ее толщины. Поверхности раздела слоев же неидеальны (толщина прослойки не постоянна по площади пленки), что и приводит к пространственным флуктуациям межслойного взаимодействия. Под немагнитной прослойкой здесь и далее понимаются благородные металлы (Cu, Ag, Au), Pd, Pt, Al, Ru и антиферромагнитный Cr. В работе [3] было обращено внимание на то, что билинейного слагаемого недостаточно для описания кривых намагничивания пленок Co/Cu/Co. Обменное взаимодействие слоев Co имеет более сложный вид, который в [3] приближенно аппроксимировали биквадратичным вкладом в потенциал. О необходимости учета биквадратичного слагаемого говорят и данные по пленкам Fe/Cr/Fe, Fe/Al/Fe, Fe/Au/Fe [4–6]. В этих работах показано, что характерный вид имеют доменная структура слоев (наличие доменов с намагниченностями, перпендикулярными друг другу) и кривые намагничивания (ступеньки при намагниченности, равной половине намагниченности насыщения).

Однако в [2] не учтено влияние внешнего и размагничивающего полей, которое существенно для пленок. Кроме того, неточно проведено рассмотрение случая, когда флуктуации обменного интеграла происходят на фоне его конечной средней величины, как нередко бывает в реальных пленках. Такая ситуация наблюдается, например, в Co/Cu/Co [3], Fe/Pd/Fe [7], Co/Ru [8]. При конечной толщине прослойки становится существенным нелокальный характер межслойного обменного взаимодействия, так как оно носит дальнедействующий характер (например, РККИ [9]). Также остались неясными вопросы: каким образом биквадратичное обменное взаимодействие сказывается на петлях гистерезиса? Можно ли его представить в виде дополнительного вклада в эффективную константу анизотропии пленки? Эти вопросы и рассмотрены в настоящей работе в рамках микромагнитного подхода.

2. Проанализируем общие условия появления биквадратичного взаимодействия. Рассмотрим двухслойную ферромагнитную пленку с взаимодействующими (через немагнитную прослойку) слоями, описываемую термодинамическим потенциалом, состоящим из объемных и билинейного обменного поверхностного вкладов [10]

$$F = F_V + F_{V'} - \int dS A_s (\mathbf{M}\mathbf{M}'), \quad F_V = \int dV \left[ \frac{\alpha}{2} \sum_{\gamma} (\nabla M_{\gamma})^2 + f(\mathbf{M}) \right], \quad (1)$$

где  $\gamma = x, y, z$ ;  $\alpha, \alpha'$  — параметры неоднородного внутрислойного обменного взаимодействия;  $A_s$  — параметр поверхностного межслойного обменного взаимодействия;  $f(\mathbf{M}), f'(\mathbf{M})$  описывают вклады внешнего, размагничивающего полей и полей анизотропии слоев;  $M, M'$  — намагниченности слоев.

Оси  $Oz, Oz'$  декартовых систем координат слоев направлены нормально пленке (рис. 1). Для локального взаимодействия интегрирование можно проводить по общей поверхности раздела слоев  $S$ , считая, что введение немагнитной прослойки учитывается зависимостью  $A_s$  от толщины прослойки  $d$ . Равновесное распределение намагниченности получаем варьированием (1) по компонентам намагниченностей  $M_{\gamma}, M'_{\gamma}$  с обычными микромагнитными граничными условиями на границе раздела слоев (плоскостях  $z = 0, z' = 0$ , не совпадающих в общем случае из-за наличия немагнитной прослойки)

$$\mathbf{M} \times \left[ \alpha \frac{\partial \mathbf{M}}{\partial n} - A_s \mathbf{M}' \right] = 0, \quad \mathbf{M}' \times \left[ \alpha' \frac{\partial \mathbf{M}'}{\partial n} - A_s \mathbf{M} \right] = 0, \quad z = 0, z' = 0, \quad (2)$$

и свободными граничными условиями на внешних поверхностях пленки

$$(\partial \mathbf{M} / \partial n)_{z=D} = (\partial \mathbf{M}' / \partial n)_{z'=D'} = 0,$$

где  $\mathbf{n}, \mathbf{n}'$  — внешние нормали к слоям.

Линеаризуем задачу подстановкой  $\mathbf{M}(\mathbf{r}) = \mathbf{M}_0 + \mathbf{m}(z, \mathbf{r}), \mathbf{M}'(\mathbf{r}) = \mathbf{M}'_0 + \mathbf{m}'(z, \mathbf{r})$ , где  $\mathbf{M}_0, \mathbf{M}'_0$  — однородные намагниченности слоев в отсутствие пространственных флуктуаций  $A_s$ ;  $\mathbf{m} \ll \mathbf{M}_0, \mathbf{m}' \ll \mathbf{M}'_0$ ;  $\mathbf{r}, \mathbf{r}'$  лежат в плоскостях  $xOy, x'Oy'$ . Предположим также, что  $A_s = \delta A_s(\mathbf{r})$  — периодическая функция  $\mathbf{r}$ , изменяющегося на поверхности

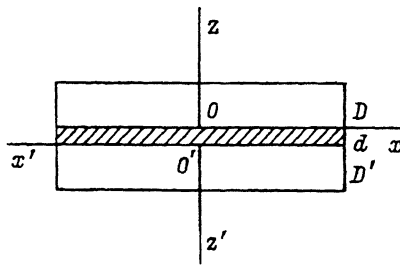


Рис. 1. Трехслойная пленка ферромагнетик-немагнитный металл.  
 $D, D'$  — толщины ферромагнитных слоев;  $d$  — толщина немагнитной прослойки.

слоя  $z = 0$  или  $z' = 0$  соответственно. В случае симметрии уравнений для разных слоев в дальнейшем будем выписывать уравнения лишь для одного из слоев. Тогда (2) после введения вектора  $\theta = \mathbf{M} \times \mathbf{m}/M_0^2$ ,  $\mathbf{m} = \theta \times \mathbf{M}_0$  приобретает вид

$$2A \frac{\partial \theta}{\partial n} = \delta A_S (\mathbf{M}_0 \times \mathbf{M}'_0), \quad 2A = \alpha M_0^2. \quad (3)$$

Нетрудно заметить, что индуцированная флуктуирующей величиной  $\delta A_S$  добавка к плотности поверхностной свободной энергии с удержанием квадратичных по  $\mathbf{m} \sim \delta A_S$  членов (нечетные степени дают нуль при интегрировании по  $S$ ) такова

$$\varphi_S = -\delta A_S (\mathbf{M}_0 \mathbf{m}' + \mathbf{M}'_0 \mathbf{m}) = -\delta A_S (\theta - \theta') (\mathbf{M}_0 \times \mathbf{M}'_0). \quad (4)$$

Введем вектор  $\mathbf{N} = (\mathbf{M}_0 \times \mathbf{M}'_0)/M_0 M'_0$  и используем разложение  $\theta = \theta_N \mathbf{N} + \theta_{\perp}$ , подстановка которого сводит (4) к биквадратичному обмену

$$\varphi_S = -\delta A_S (\theta_N + \theta'_{N'}) N^2 M_0 M'_0, \quad N^2 = \left[ 1 - \left( \frac{M_0 M'_0}{M_0 M'_0} \right)^2 \right]. \quad (5)$$

Предположим, что объемные члены  $f(\mathbf{M})$  имеют такой вид, что тензор  $\partial^2 f(\mathbf{M}_0)/\partial M_{\gamma} \partial M_{\gamma'}$  диагонален, и введем обозначение  $\kappa_{\gamma}^2 = f''_{\gamma\gamma} M_0^2/2A$ . Преобразуем по формуле Грина, учтя уравнения равновесия для компонент  $m_{\gamma}$ , объемные интегралы (1) в поверхностные

$$\begin{aligned} \int dV \varphi_V &= \frac{A}{M_0^2} \sum_{\gamma} \int dV [(\nabla m_{\gamma})^2 + \kappa_{\gamma}^2 m_{\gamma}^2] = \frac{A}{M_0^2} \int dS \mathbf{m} \frac{\partial \mathbf{m}}{\partial n} = \\ &= A \int dS \theta \frac{\partial \theta}{\partial n} \end{aligned}$$

и используем граничные условия (3), что дает

$$\int dV \varphi_V = \int dS \delta A_S \theta_N N^2 M_0 M'_0/2.$$

Следовательно, потенциал (1) приводится к виду

$$F = F_0 - \frac{1}{2} \int dS \delta J (\theta_N + \theta'_{N'}) N^2, \delta J = \delta A_S M_0 M'_0. \quad (6)$$

С учетом граничного условия (3), где  $\partial(\dots)/\partial n = -\partial(\dots)/\partial z$ , (6) можно упростить, имея в виду пропорциональность  $\theta_N(z, \mathbf{r}) \sim \delta A_S(\mathbf{r})$ . Флуктуационный вклад в полную свободную энергию (6) имеет вид биквадратичного обменного взаимодействия

$$\Phi_S = \frac{1}{4} \int dS \delta_S^2 \left[ \frac{\theta}{A\theta_z} + \frac{\theta'}{A'\theta'_z} \right] (M_0 \times M'_0)^2 = B_{12} \left[ 1 - \left( \frac{M_0 M'_0}{M_0 M'_0} \right)^2 \right], \quad (7)$$

где  $\theta = \theta_N(z=0, \mathbf{r})$ ,  $\theta' = \theta'_{N'}(z'=0, \mathbf{r})$ ; член в квадратных скобках от  $\mathbf{r}$  не зависит; индексы  $z, z'$  означают производные по  $z, z'$ .

Для получения формы (7) необязательно предполагать конкретный вид зависимости  $\delta A_S(\mathbf{r})$ , но для практического вычисления константы биквадратичного обмена

$$B_{12} = \frac{1}{4} \int dS \delta A_S^2 \left[ \frac{\theta}{A\theta_z} + \frac{\theta'}{A'\theta'_z} \right] (M_0, M'_0)^2 \quad (8)$$

необходимо решение объемных уравнений равновесия.

Отметим, что необходимо найти из объемных уравнений равновесия лишь проекции  $\theta_N, \theta'_{N'}$ . Для вычислений примем  $f(\mathbf{M}) = f_a(M_z) - \mathbf{M}\mathbf{H}$  с аксиально-симметричной частью  $f_a$ . В этом случае, как нетрудно показать, уравнения для  $\theta_N, \theta'_{N'}$ , отщепляются от системы уравнений для проекций  $\theta, \theta'$ . Линеаризованное уравнение равновесия ( $\hat{z}$  — единичный вектор в направлении оси  $0z$ )

$$M_0 \times (\alpha \Delta \mathbf{m} - \hat{z} m_z f''_a) + \mathbf{m} \times \mathbf{H}_{\text{ef}} = 0,$$

где  $\mathbf{H}_{\text{ef}} = \mathbf{H} - \hat{z} f'_a$ , перепишем через  $\theta$

$$2A\Delta\theta - f''_a(\mathbf{M} \times \hat{z})(M_0 \times \hat{z})\theta + M_0(\theta\mathbf{H}_{\text{ef}}) = 0 \quad (9)$$

и дополним линеаризованными граничными условиями (3)

$$2A\theta_n = \delta A_S(M_0 \times M'_0).$$

Предположим, что магнитное поле изменяется в плоскости  $zOx$ , тогда в  $\varphi_S$  (5) вклад дают только составляющие  $\theta_y, \theta'_y$ , индуцированные  $\delta A_S$ . Уравнение для  $\theta_y$ , отщепляется от системы (9), приобретая вид уравнения Клейна-Гордона

$$\Delta\theta - \kappa^2\theta = 0, \quad \kappa^2 = f''_a M_{0x}^2 / 2A, \quad \theta = \theta_y. \quad (10)$$

Задача свелась к решению (10), удовлетворяющему граничным условиям. Влияние магнитной анизотропии, размагничивающего поля и внешнего магнитного поля проявляется через конечную обменную

корреляционную длину  $\kappa^{-1}$ ;  $\kappa^{-1}$  значительно возрастает при ориентационных фазовых переходах, которые могут происходить при намагничивании полем  $\mathbf{H}$ . Случай поля  $\mathbf{H}$  и оси анизотропии в плоскости пленки  $\theta = \theta_z$  рассчитывается аналогично. Фундаментальная система решений уравнения (10) есть  $\exp(i(\mathbf{k}\mathbf{r} + k_z z))$  и  $\mathbf{k}^2 + k_z^2 + \kappa = 0$ . Так как  $\delta A_S(\mathbf{r})$  предполагается периодической функцией  $\mathbf{r}$ , то в силу граничных условий (3)  $k_x, k_y$  являются вещественными. Следовательно, компонента  $k_z$  чисто мнимая. Обозначив  $K^2 = \mathbf{k}^2 + \kappa^2$ , получим решение граничной задачи

$$\theta_N(z, \mathbf{r}) = \text{ch } K(z - D) \delta A_S(\mathbf{r}) (\mathbf{M}_0 \times \mathbf{M}'_0)_y / 2AK \text{ sh } KD \quad (11)$$

и аналогичное выражение для  $\theta'$ , что для  $B_{12}$  дает

$$B_{12} = -\frac{1}{4} \left( \frac{\text{cth } KD}{AK} + \frac{\text{cth } K'D'}{A'K'} \right) (M_0 M'_0)^2 \int dS \delta A_S^2(\mathbf{r}), \quad B_{12} < 0. \quad (12)$$

Используя зависимость  $\delta A_S(\mathbf{r}) = \delta A_{Sq} \exp(i\mathbf{q}\mathbf{r})$  для  $B_{12}$ , окончательно получим модифицированный результат Слончевского [2], отличающийся заменой  $q \rightarrow K = (q^2 + \kappa^2)^{1/2}$

$$B_{12} = -\frac{1}{4} |\delta J_q|^2 \left( \frac{\text{cth } KD}{AK} + \frac{\text{cth } K'D'}{A'K'} \right), \quad \delta J_q = \delta A_{Sq} M_0 M'_0. \quad (13)$$

Учет  $\kappa \neq 0$  уменьшает модуль  $B_{12}$ ; (13) является разложением потенциала по малому параметру  $\delta J/AK$ . Сложнее оказывается картина, если флуктуации  $\delta A_S$  появляются на фоне среднего значения  $A_S^0$  и соотношение  $J_0/AK$  ( $J_0 = A_S^0 M_0 M'_0$ ) не обязательно является малым. Представим обменный интеграл в виде  $J(\mathbf{r}) = J_0 + \delta J(\mathbf{r})$ . В этом случае  $\varphi_S$  не сводится к формуле (5), а имеет вид

$$\varphi_S = \frac{1}{2} J_0 \cos \alpha (\theta - \theta')^2 + \sin \alpha \delta J (\theta - \theta'), \quad \alpha = \theta_0 - \theta'_0. \quad (14)$$

В [2] было пропущено первое слагаемое в поверхностной плотности энергии (14), а  $J_0$  учтен лишь в конце расчета. Решив систему уравнений для граничных условий, следующую из (14), и вычислив соответствующие поверхностные и объемные вклады для  $B_{12}$ , получим

$$B_{12}(\alpha) = -\frac{1}{4} |\delta J_q|^2 \left( \frac{\text{cth } KD}{AK} + \frac{\text{cth } K'D'}{A'K'} \right) \times \\ \times \left[ 1 + \frac{1}{2} J_0 \left( \frac{\text{cth } KD}{AK} + \frac{\text{cth } K'D'}{A'K'} \right) \cos \alpha \right]^{-1} \quad (15)$$

выражение зависящее от  $\alpha$ , т.е. флуктуационный вклад (7) не сводится в отличие от [2] к биквадратичному обмену. Отметим, что обращение знаменателя (15) в нуль дает в точности уравнение на разрешенные волновые векторы статических спин-волновых мод, локализованных на

поверхности раздела слоев [10]. Это возможно лишь при антиферромагнитном межслойном обменном взаимодействии  $J_0 < 0$ .

Однако использование локального взаимодействия слоев (1)  $a_S(d, \mathbf{r} - \mathbf{r}') = A_S(d)\delta(\mathbf{r} - \mathbf{r}')$  при конечной толщине немагнитной прослойки является неоправданным, так что взаимодействие (например, РК-КИ, через спин-поляризованные электроны проводимости прослойки) является дальнедействующим. Поверхностную энергию в (1) запишем в виде

$$F_S = - \int d^2\mathbf{r} \int d^2\mathbf{r}' a_S(d, \mathbf{r} - \mathbf{r}') M(\mathbf{r}) M(\mathbf{r}') M(\mathbf{r}') \quad (16)$$

или эквивалентном через углы направлений векторов  $M, M'$

$$F_S = - \int d^2\mathbf{r} \int d^2\mathbf{r}' J(d, \mathbf{r} - \mathbf{r}') \cos(\theta(\mathbf{r}) - \theta(\mathbf{r}')). \quad (16a)$$

Представим, как и выше, обменный интеграл  $J$  в виде суммы двух членов  $J_0(\mathbf{r} - \mathbf{r}')$ , который слабо зависит от  $d$  на расстояниях порядка периода решетки прослойки и осциллирующего в зависимости от  $d$  вклада  $\delta J(d, \mathbf{r} - \mathbf{r}')$ . Другими словами,  $J_0$  представляет собой длиннопериодную (или монотонную), а  $\delta J$  — короткопериодную часть межслойного обменного взаимодействия. Будем считать, что  $d(\mathbf{r})$  описывает рельеф поверхности.

Граничное условие на  $z = 0$  (на  $z' = 0$  аналогично) после линеаризации  $\theta(\mathbf{r}) = \theta_0 + \theta(\mathbf{r})$ ,  $\theta'(\mathbf{r}) = \theta'_0 + \theta'(\mathbf{r})$ ,  $J = J_0 + \delta J$  получим в интегро-дифференциальном виде

$$2A \frac{\partial \theta}{\partial n} + J_0(0) \cos \alpha \theta(\mathbf{r}) - \cos \alpha \int d^2\mathbf{r}' J_0(\mathbf{r} - \mathbf{r}') \theta'(\mathbf{r}') \theta'(\mathbf{r}') = - \sin \alpha \delta J(d, 0), \quad (17)$$

где  $J_0 = \int d^2\mathbf{r}' J_0(\mathbf{r} - \mathbf{r}')$ ,  $\delta J(d, 0) = \int d^2\mathbf{r} \delta J(d, \mathbf{r} - \mathbf{r}')$ .

Теперь рассчитаем реакцию на одну Фурье-гармонику, полагая  $\delta J(d, 0) = \delta J(d(\mathbf{r})) = \delta J_{\mathbf{Q}} \exp(-i\mathbf{Q}\mathbf{r})$ ,

$$\theta(\mathbf{r}), \quad \theta(\mathbf{r}) \sim \exp(-i\mathbf{Q}\mathbf{r}), \quad \exp(-i\mathbf{Q}\mathbf{r}')$$

соответственно. Это дает систему граничных условий

$$\begin{aligned} 2A \frac{\partial \theta}{\partial n} + J_0(0) \cos \alpha \theta - \cos \alpha J_0(\mathbf{Q}) \theta'(\mathbf{Q}) &= - \sin \alpha \delta J_{\mathbf{Q}}, \\ 2A' \frac{\partial \theta'}{\partial n'} + J_0 \cos \alpha \theta'(\theta) - \cos \alpha J_0(\mathbf{Q}) \theta(\mathbf{Q}) &= \sin \alpha \delta J_{\mathbf{Q}}, \end{aligned} \quad (18)$$

где

$$J_0(\mathbf{Q}) = \int d^2\mathbf{r}' J_0(\mathbf{r} - \mathbf{r}') \exp(i\mathbf{Q}(\mathbf{r} - \mathbf{r}')).$$

Решениями (18), удовлетворяющими уравнениям (10), являются

$$\theta(z, \mathbf{r}) = \delta J(\mathbf{r}) t(\mathbf{Q}) \sin \alpha \operatorname{ch} K(z - D) / 2AK \operatorname{sh} KD, \quad (19)$$

$$\theta(z'r') = \delta J(\mathbf{r})t'(\mathbf{Q}) \sin \alpha \operatorname{ch} K(z' - D)/2A'K' \operatorname{sh} K'D',$$

где амплитуды  $t, t'$  не равны единице в отличие от (11) и равны

$$t(\mathbf{Q}) = \frac{-1}{\Delta(\mathbf{Q})} \left[ 1 + \frac{x'}{2} \cos \alpha \{J_0(0) - J_0(\mathbf{Q})\} \right],$$

$$t'(\mathbf{Q}) = \frac{1}{\Delta(\mathbf{Q})} \left[ 1 + \frac{x}{2} \cos \alpha \{J_0(0) - J_0(\mathbf{Q})\} \right],$$

$$\Delta(\mathbf{Q}) = 1 + J_0(0) \cos \alpha (x + x')/2 + xx' \cos^2 \alpha \{J_0^2(0) - J_0^2(\theta)\}/4, \quad (20)$$

Здесь

$$x = \operatorname{cth} KD/AK, \quad x' = \operatorname{cth} K'D'/A'K', \quad \delta J t(\mathbf{Q})x \ll 1.$$

Вклад в потенциал на единицу поверхности из-за пространственных флуктуаций  $d$  принимает с учетом решений (19) вид

$$\Phi_{\mathbf{Q}} = -\frac{1}{4} \sin^2 \alpha |\delta J_{\mathbf{Q}}|^2 (x + x' + \cos \alpha x x' \{J_0(0) - J_0(\mathbf{Q})\}) \frac{1}{\Delta(\theta)}. \quad (21)$$

Условие  $\Delta(\mathbf{Q}) = 0$  дает уравнение для разрешенных волновых векторов  $K, K'$  (или спектр частот  $\omega$ , если учесть зависимости  $K(\omega), K'(\omega)$ , включив в рассмотрение временные производные намагниченностей в лагранжиане, соответствующем потенциалу (1)) поверхностных спиновых волн, имеющих нулевую компоненту волнового вектора в плоскости пленки  $\theta$ . Для одинаковых материалов слоев и коллинеарных намагниченностей  $\mathbf{M}_0 \parallel \mathbf{M}'_0$  уравнение  $\Delta(\theta) = 0$  сводится к полученному в работе [11].

Так как в рамках линейной теории вклады от всех Фурье-компонент  $\delta J(d(\mathbf{r}))$  аддитивны, то для полного потенциала на единицу поверхности раздела получим

$$\Phi = \Phi_0 + \sum_{\theta} \Phi_{\theta}, \quad \Phi_0 = Df(\theta_0) + D'f'(\theta'_0) - J_0(0) \cos \alpha, \quad (22)$$

где  $\alpha$  — угол между невозмущенными намагниченностями слоев.

Оценим при условии  $KD \geq 1$  константу  $B_{12}$ . Для толщины прослойки  $d \sim 1$  нм, обменной жесткости  $A \sim 10^{-11}$  Дж/м,  $K \sim 10^8 \div 10^9 \text{ м}^{-1}$  получим  $B_{12} \sim 10^{-12} \div 10^{-3} \text{ мДж/м}^2$ , если принять  $\delta J \sim J_{\text{РККИ}}(d) \sim 10^{-1} \text{ мДж/м}^2$  [9]. Это по порядку величины согласуется с  $B_{12}$ , полученным для пленок Fe/Au/Fe [5,6] и Co/Cu/Co [3]. Но в пленках Fe/St/Fe, Fe/Al/Fe измеренное значение  $|B_{12}|$  имеет значительно большую величину  $\sim 10^{-1} \text{ мДж/м}^2$  [4-6], что, видимо, связано с большей величиной осциллирующего обменного интеграла, не укладывающегося в простую схему РККИ-взаимодействия через немагнитную металлическую прослойку. В этом случае использование выражений (13) или (21) позволяет найти его величину по измеренным экспериментально значениям  $B_{12}$ .

3. Рассмотрим намагничивание пленки с потенциалом (22). Будем считать, что вклад в разложение  $\delta J(\mathbf{r} - \mathbf{r}')$  дают лишь члены с достаточно большими  $Q$  (флуктуации мелкомасштабны), а толщина слоев пленки достаточно велика, так что  $KD > 1$  ( $\pi K_{\max}^{-1}$  порядка десяти периодов решетки),  $|J_0(0)|x \ll 1$ . В этом случае квадратичными по  $x, x'$  членами в (22) можно пренебречь и обмен сведется к биквадратичному. Магнитное поле пусть приложено в плоскости пленки, что для потенциала (22), который можно рассматривать как феноменологический с константой  $B_{12}$ , дает

$$\Phi(\mu) = \text{const} - \mu H - \frac{B}{(DD')^2} \left[ \frac{p}{2} \mu^2 + \frac{1}{4} \mu^4 \right], \quad p = \frac{DD'}{B} A_S^0 - \nu^2, \quad (23)$$

где  $\mu = M_0 D + M_0' D'$ ,  $B = B_{12}/(M_0 M_0')^2 < 0$ ,  $\nu^2 = (M_0 D)^2 + (M_0' D')^2$ , углы  $\theta, \theta'$  лежат в плоскости пленки.

Анализ (23) показывает, что при условии  $|A_S^0| < 2|B| M_0 M_0'$  появляется петля гистерезиса с коэрцитивной силой (полем потери стабильности угловой фазы)

$$H_c = -\frac{2}{3\sqrt{3}} \frac{B}{(DD')^2} \left( \nu^2 - \frac{DD'}{B} A_S^0 \right)^{3/2}, \quad (24)$$

несмотря на отсутствие анизотропных слагаемых в потенциале (23).

Для магнитного поля вдоль нормали к пленке потенциал не удастся свести к виду (23), но для одинаковых слоев ( $M_0 = M_0', D = D', \beta = \beta'$ ) при условии  $|J_0(0)| < 2|B_{12}|$  и эффективной анизотропии слоев «легкая плоскость» ( $\beta < 4\pi$ ) биквадратичное обменное взаимодействие приводит к гистерезису намагниченности с коэрцитивной силой

$$H_c = -\frac{4}{3} \left( \frac{2}{3} \right)^{1/2} \frac{B_{12}}{MD} \left( 1 + \frac{(4\pi - \beta) M_0^2 D - 2J_0}{4B_{12}} \right)^{3/2}. \quad (25)$$

Поскольку условие существования (25) зависит от соотношения объемных и поверхностных вкладов в потенциал, то удобнее записать (25) через толщины ферромагнитных слоев

$$H_c(D) = \frac{4\pi}{3} \left( \frac{2\pi}{3} \right)^{1/2} \frac{M_0^2}{D|B_{12}|^{1/2}} (D_c - D)^{3/2}, \quad D_c = \frac{J_0 + 2|B_{12}|}{2\pi M_0^2}, \quad \beta = 0. \quad (25a)$$

Отсюда следует, что при уменьшении толщины ферромагнитных слоев  $D$  до значений ниже критической  $D_c$  и намагничивании вдоль нормали пленка ведет себя так, как будто у нее появилась наклонная анизотропия с полем  $\cong H_c(D)$ . Увеличение  $J_0 > 0$  и  $|B_{12}|$ , согласно (25a), расширяет область существования гистерезиса. Формулы (24), (25) можно использовать для модулированных многослойных пленок ферромагнетик/немагнитный металл ( $D = D'$ , период структуры  $D + d$ ). При этом потенциал (22) удобно отнести к одному ферромагнитному



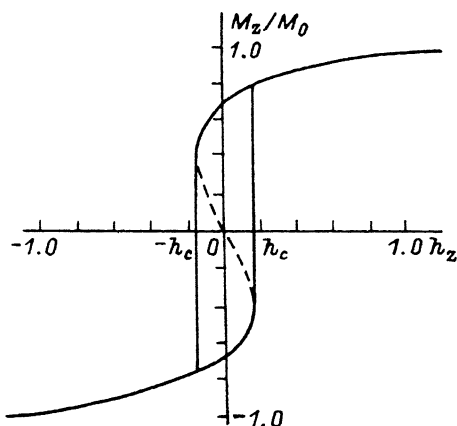


Рис. 2. Петля гистерезиса многослойной модулированной пленки ферромагнетик/немагнитный металл с биквадратичным обменным взаимодействием  $B_{12} < 0$  в магнитном поле, нормальном слоем.

$J_0 = 3|B_{12}|$ ,  $D = D_c/2$ ,  $h_z = H_z/4\pi M_0$ ,  $h_c = H_c/4\pi M_0$ .

слою, что сводится к замене в (22)  $D \rightarrow D/2$ ,  $B_{12} \rightarrow 3B_{12}/2$ . Степень прямоугольности петли гистерезиса (рис. 2)  $M_z(D, H_z = 0)/M_0 = \pm \pm 2^{1/2}(1 + J_0/3|B_{12}|)^{1/2}(1 - D/D_c)^{1/2}/2$ ;  $D_c$  возрастает при уменьшении  $d$ . Подобная (25а) зависимость петли гистерезиса от толщины наблюдалась в многослойных пленках Co/Au ( $D_c \approx 2$  нм), Co/Cu ( $D_c \approx 1$  нм)<sup>[12]</sup>, Co/Ru ( $D_c \approx 1.3$  нм)<sup>[13]</sup>, Co/Ru ( $D_c \approx 1.5$  нм)<sup>[14]</sup>, Co/Pt ( $D_c \approx 1$  нм)<sup>[15]</sup>, Co/Pt ( $D_c \approx 0.5 \div 1.7$  нм)<sup>[16]</sup>, Co/Pd ( $D_c \approx 0.3 \div 2$  нм в зависимости от того, какая кристаллическая плоскость эпитаксиального Co параллельна поверхности пленки)<sup>[17]</sup>. Согласно (25а), используя типичное значение  $J_0 \sim 1$  мДж/м<sup>2</sup> для  $d \approx 1$  нм из обзора<sup>[18]</sup> и оценивая  $(J_0 + 3|B_{12}|) \sim 1$  мДж/м<sup>2</sup>, получим для Co критическую толщину  $D_c(d) \sim 1$  нм. Однако в пленках CoPd/Pd<sup>[19]</sup> было найдено  $D_c \approx 6$  нм, что, видимо, связано с уменьшением намагниченности ферромагнитных слоев. В большинстве работ<sup>[12-17,19]</sup> появление перпендикулярной анизотропии с уменьшением толщины ферромагнитного слоя в модулированной пленке объясняется на основе конкуренции объемного и поверхностного вкладов в эффективную константу анизотропии  $K_{ef}(D) = K_V + 2K_S/D$ , приходящуюся на один ферромагнитный слой. С учетом  $K_V = -2\pi M_0^2$  это дает значение критической толщины  $D_c = (2K_S)/2\pi M_0^2$ , где предполагается, что  $K_S > 0$  — константа поверхностной перпендикулярной анизотропии  $\sim 1$  мДж/м<sup>2</sup>, происхождение которой не конкретизируется либо объясняется с помощью какой-либо дополнительной модели. Из сравнения этого значения  $D_c$  с формулой (25а) ясно, что альтернативным объяснением поверхностной энергии  $K_S$  является ее связь не с анизотропией, а с обменным билинейным  $J_0$  и биквадратичным  $B_{12}$  межслойным взаимодействием, а именно  $K_S = J_0(0) + 3|B_{12}|$ .

Для коэрцитивной силы  $H_c$ , зависящей от толщины и типа прослойки, получим  $\sim 10 \div 10^2$  мТл для  $|B_{12}| \sim 10^{-1} \div 10^{-2}$  мДж/м<sup>2</sup>.

4. Для трехслойной пленки ферромагнетик-немагнитный металл-ферромагнетик условия существования биквадратичного обменного взаимодействия между ферромагнитными слоями заключаются в ограничениях на вид объемных анизотропных вкладов в потенциал (1). Но так как обычно в пленках анизотропные слагаемые не выше второго порядка по компонентам намагниченности (анизотропия формы и наведенная одноосная анизотропия), то эти условия выполняются. Обменное взаимодействие не сводится к биквадратичному при наличии длиннопериодного (или монотонно спадающего с толщиной прослойки) вклада в поверхностный обменный интеграл  $J_0$  и учете его нелокальности, если не выполняется критерий  $|J_0| x \ll 1$ . При совершенной поверхности раздела короткопериодная часть межслойного обменного взаимодействия  $\delta J(d)$  проявляется непосредственно [5,20], а при учете рельефа поверхности  $d(\mathbf{r})$ , при подавлении короткопериодных осцилляций  $\delta J(d)$ , — в виде биквадратичного обменного взаимодействия. При антиферромагнитном обменном интеграле  $J_0$  вклад пространственных флуктуаций  $\delta J(\mathbf{r})$  в константу индуцированного взаимодействия  $B_{12}$  резко возрастает, когда волновой вектор флуктуаций  $\mathbf{Q}$  удовлетворяет условию возбуждения поверхностных спин-волновых мод.

Биквадратичное обменное взаимодействие при намагничивании пленки проявляет себя аналогично наклонной по отношению к нормали к пленке магнитной анизотропии, приводя к раскрытию петли гистерезиса. Соответствующая коэрцитивная сила дается выражением (24) при намагничивании в плоскости пленки и выражением (25а) при намагничивании вдоль нормали. Увеличение поверхностной энергии взаимодействия слоев (величин  $J_0 > 0$  и  $|B_{12}|$ ) и уменьшение периода  $D+d$  многослойной модулированной пленки способствуют проявлению биквадратичного обменного взаимодействия в виде наклонной магнитной анизотропии. Возможной причиной появления перпендикулярной анизотропии в модулированных пленках Co/X (X — немагнитный металл) [12–17,19] при уменьшении толщины слоя Co является биквадратичное обменное взаимодействие.

#### Список литературы

- [1] Нагаев Э.Л. Магнетики со сложными обменными взаимодействиями. М.: Наука, 1988. 231 с.
- [2] Slonczewski J.C. // Phys. Rev. Lett. 1991. V. 67. N 22. P. 3172–3175.
- [3] Heinrich B., Cochran J.F., Kowalewski M. et al. // Phys. Rev. B. 1991. V. 44. N 17. P. 9348–9361.
- [4] Ruhrig M., Schafer R., Hubert A. et al. // Phys. Stat. Solidi (a). 1991. V. 125. N 2. P. 635–641.
- [5] Fuss A., Demokritov S., Grunberg P., Zinn W. // J. Magn. Magn. Mat. 1992. V. 103. P. L221–L227.
- [6] Grunberg P., Demokritov S., Fuss A. et al. // J. Magn. Magn. Mat. 1992. V. 104–107. P. 1734–1738.
- [7] Celinski Z., Heinrich B., Cochran J.F. // J. Appl. Phys. 1991. V. 70. N 10. P. 5870–5872.
- [8] Ounadjela K., Muller D., Dinia A. et al. // Phys. Rev. B. 1992. V. 45. N 14. P. 7768–7771.
- [9] Bruno P., Chappert C. // Phys. Rev. B. 1992. V. 46. N 1. P. 261–270.
- [10] Гуслиенко К.Ю. // Металлофизика. 1992. V. 14. N 11. С. 24–27.
- [11] Vayhinger K., Kronmuller H. // J. Magn. Magn. Mat. 1988. V. 72. N 3. P. 307–311.
- [12] Clarke R., Elagöz S., Vavra V. et al. // J. Appl. Phys. 1991. V. 70. N 10. P. 5775–5779.
- [13] Van Kesteren H.V., den Broeder F.J.A., Bloemen P.J.H. et al. // J. Magn. Magn. Mat. 1991. V. 102. N 1–2. P. 9–14.

- [14] Dinia A., Ounadjela K., Arbaoui A. et al. // J. Magn. Magn. Mat. 1991. V. 104-107. P. 1871-1872.
- [15] Krishnan R., Porte M., Tessier M. // IEEE Trans. Magn. 1990. V.26. N 5. P. 2727-2729.
- [16] Lin C.J., Gorman G.L., Lee C.H. et al. // J. Magn. Magn. Mat. 1991. V. 93. P. 194-206.
- [17] Engel B.N., England C.D., van Leeuwen R.A. et al. // Phys. Rev. Lett. 1991. V. 67. N 14. P. 1910-1914.
- [18] Vohl M., Wolf J.A., Grunberg P. et al. // J. Magn. Magn. Mat. 1991. V. 93. P. 403-306.
- [19] Takahashi H., Fukatsu S., Tsunashima S. et al. // J. Magn. Magn. Mat. 1992. V. 104-107. P. 1831-1832.
- [20] Unguris J., Cellota R.J., Cochran J.F. // J. Appl. Phys. 1991. V. 70. N 10. P. 5870-5872.

Институт металлофизики  
АН Украины  
Киев

Поступило в Редакцию  
5 мая 1993 г.